

КОНФЕРЕНЦИИ И СИМПОЗИУМЫ

**Научная сессия Отделения общей физики и астрономии  
Российской академии наук**

(25 октября 2000 г.)

25 октября 2000 г. в Институте физических проблем им. П.Л. Капицы РАН состоялась научная сессия Отделения общей физики и астрономии Российской академии наук. На сессии были заслушаны доклады:

1. **Разумова К.А.** (Институт ядерного синтеза, РНЦ "Курчатовский институт", Москва). *Возникновение транспортных барьеров в плазме токамака.*

2. **Марченко А.В.** (Институт общей физики РАН, Москва). *Модель формирования торосов в дрейфующем ледяном покрове.*

Краткие содержания докладов публикуются ниже.

PACS numbers: 52.30.-q, 52.35.-g, 52.55.Fa

**Возникновение транспортных барьеров  
в плазме токамака**

К.А. Разумова

Широко известно, что во всем мире много лет ведутся исследования с целью создания управляемого термо-ядерного реактора — мощного безопасного источника энергии. Основное направление, уже практически приведшее к техническому проекту реактора, использует плазму с протекающим по ней током, помещенную в тороидальное магнитное поле. Это установки "токамак". Мы не будем здесь говорить о технических достижениях этого направления — температуре плазмы, достигающей 35 кэВ, высоком коэффициенте использования давления магнитного поля и т.д. Мы будем говорить об удивительных свойствах горячей замагниченной плазмы — этой, казалось бы аморфной, подверженной несчетному количеству неустойчивостей, субстанции. На практике она, оказывается, может проявлять стройность, достойную кристалла.

В идеале, помещенная в сильное магнитное поле плазма должна иметь низкие коэффициенты переноса, так как при столкновениях частицы могут смещаться только на величину  $\Delta x = \rho_{\text{Лар}}$ . На самом деле, даже помещенная в сильное магнитное поле плазма остается очень подвижной и подверженной многим неустойчивостям, которые ухудшают удержание энергии и частиц. Оставим в стороне кинетические неустойчивости и рассмотрим крупномасштабные магнитогидродинамиче-

ские (МГД), которые в первую очередь определяют поведение плазмы.

Так как в токамаке вдоль плазменного кольца проходит ток, магнитные силовые линии навиваются на тороидальную ось. Шаг их закручивания характеризуется величиной:

$$q = \frac{B_t r}{B_p R},$$

где  $B_t$  и  $B_p$  напряженность тороидального и полоидального магнитных полей, а  $r$  и  $R$  — соответственно малый и большой радиусы плазменного тора. На некоторых радиусах силовая линия, обернувшись один или более раз вокруг тора, может замкнуться сама на себя. Такие поверхности называются рациональными и характеризуются числом  $m$ , соответствующим количеству обходов до замыкания. Если такая силовая линия еще дополнительно прокрутилась вокруг тороидальной оси, мы можем характеризовать это числом  $n$ . Таким образом,

$$q = \frac{B_t r}{B_p R} = \frac{m}{n}.$$

Энергетически току выгоднее течь вдоль реальной силовой линии, а не вдоль тора, поэтому плазма с током оказывается неустойчивой относительно концентрирования вдоль какого-то пучка рациональных силовых линий. У такого спирального жгута тока образуется свое магнитное поле, которое образует "магнитный островок". Островок может расти, но его нелинейные взаимодействия с остальной плазмой ограничивают этот рост, и остров оказывается конечного размера. Величина острова зависит от изменения закрученности магнитных силовых линий по радиусу так называемого магнитного "шира":

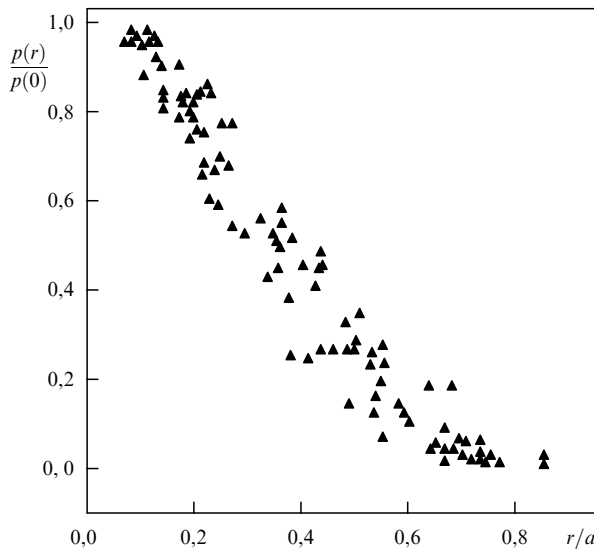
$$S = \frac{r}{q} \frac{dq}{dr}.$$

Чем больше  $S$ , тем меньше остров.

Соседние острова могут примыкать краями друг к другу. Нелинейные взаимодействия на краях могут приводить к дроблению островов и даже к возникновению участков с разрушенными магнитными поверхностями.

стями, где силовые линии хаотически перемешиваются. Благодаря очень большим переносам вдоль магнитного поля давление плазмы на внешней и внутренней части острова легко выравнивается, если между островами тоже есть хороший контакт — тепло, и частицы быстро уходят поперек магнитного поля.

Арсенал неустойчивостей в плазме очень велик. На любое воздействие плазма может ответить развитием какой-то неустойчивости, которая изменит ее поперечный транспорт. Но всякая неустойчивость, черпая энергию из неудачного градиента плазменного параметра, приводит к изменению этого градиента и собственной стабилизации. Таким образом, плазма стремится так организовать свой профиль, чтобы быть максимально устойчивой, т.е. иметь минимум внутренней энергии. Мы вправе ожидать, что для различных установок токамак и широкого класса их режимов обезразмеренные профили давления плазмы будут выглядеть подобными, если найти правильную нормировку для радиуса плазмы. Это демонстрируется на рис. 1 [1].



**Рис. 1.** Зависимость проинормированного давления плазмы от безразмерного радиуса  $r = r/a$ , где  $a = (IR/B_t)^{1/2}$  для различных токамаков и широкого спектра их режимов (T-10, T-11, TFR, TM-3, PLT, PDX, ASDEX).

Оказалось, что текущий радиус надо нормировать на радиус магнитной поверхности с заданным  $q$ . Б.Б. Кадомцев объяснил в свое время это явление, показав, что профиль, близкий к самосогласованному, соответствует минимуму внутренней энергии [2]. Следствием этого явления оказывается то, что коэффициенты переноса зависят не только от локальных характеристик, но и от состояния плазмы в целом.

Идеального профиля, конечно, быть не может, так как на плазму извне всегда оказываются воздействия. Самое сильное из них — граничные условия, которые искажают самосогласованный профиль и, следовательно, увеличивают потоки энергии и частиц на стенку камеры. Если бы удалось создать около края плазмы хотя бы узенький участок с низкими коэффициентами переноса, удалось бы отгородить стенку от плазмы и приблизить ее профиль к оптимальному.

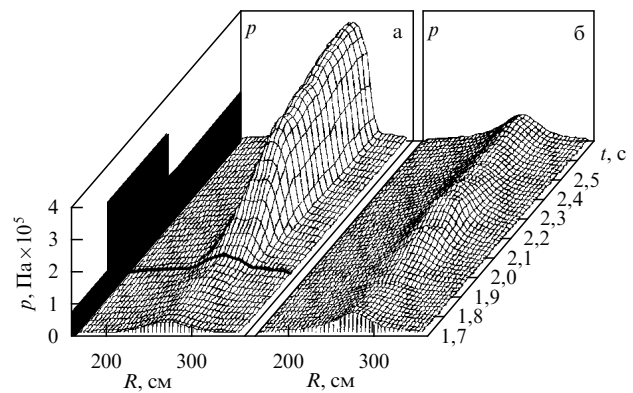
Как ни утопична такая идея, она однажды реализовалась сама собой!

На немецкой установке ASDEX [3] был обнаружен режим с внешним транспортным барьером (локальным минимумом транспортных коэффициентов). Электронная температура —  $T_e$  и концентрация —  $n_e$  имели крутые градиенты на краю плазмы. Такого sorta режим получил название H-моды. В нем удержание плазмы улучшается, грубо говоря, вдвое. Хотя эмпирически условия образования такого режима изучены всесторонне, хотя он принят как основной режим реактора, до сих пор не вполне ясна физика его возникновения. Почему в узкой зоне вблизи некоторой магнитной поверхности резко улучшается удержание плазмы?

Одна из причин — возникновение быстрого полоидального вращения ( $V_p \approx 1-5 \times 10^6 \text{ см с}^{-1}$ ) на небольшом участке плазменной периферии. Наиболее вероятная неустойчивость, ответственная за потерю тепла от ионов и самих частиц — это дрейфово-градиентная мода, выбрасывающая плазму относительно длинноволновыми языками. Неоднородное по радиусу вращение замазывает эти языки и препятствует развитию неустойчивости. Эксперимент подтвердил это объяснение. Но откуда берется вращение? И почему улучшается удержание электронов?

Природа сделала еще один подарок исследователям — внутренние транспортные барьеры. Теория предсказывает, что многие МГД неустойчивости могут быть стабилизированы при условии  $S < 0$ , т.е. тогда, когда ток имеет полый профиль. Такая конфигурация может быть создана либо за счет скин-эффекта, либо при генерации неиндукционного тока в нужной зоне плазмы.

Экспериментаторы пошли сначала по первому пути. На фазе роста тока в плазму вкладывалась большая мощность дополнительного нагрева: в плазму под углом к магнитному полю инжектировался поток быстрых нейтральных атомов, которые, перезаряжаясь, приводят к нагреву плазмы. Улучшение удержания было обнаружено [4] (рис. 2), но зона с пониженными коэффициентами переноса оказалась не в области  $S < 0$ , а в зоне нулевого "шира". В плазму при таком методе нагрева



**Рис. 2.** Американская установка TFTR. Изменения в профиле давления плазмы в процессе формирования внутреннего барьера (левая диаграмма) и обычный режим с близкими исходными параметрами. Черным контуром дан временной ход вложенной в плазму мощности. (а) Разряд с внутренним барьером; (б) разряд без внутреннего барьера.

вводился вращательный момент, и это могло объяснить явление, так же как и при внешнем барьере — Н-моде. Однако вскоре появились эксперименты, в которых использовался нагрев, не вносящий в плазму момента, а внутренний транспортный барьер все же появлялся.

На токамаке T-10, находящемся в РНЦ "Курчатовский институт", в качестве дополнительного нагрева используется электронный циклотронный резонанс (ЭЦР), который, естественно, греет только электроны. Если вводить ЭЦР волны под углом к магнитному полю, возможна безиндукционная генерация тока в заданной сравнительно узкой зоне плазмы. Вращательный момент при этом в плазму не вносится. Зона вкладываемой мощности и генерации тока — 0,3 от полного радиуса плазмы (они могут быть сделаны и более локальными). Таким образом, можно генерировать ток на разных радиусах как в направлении согласном с током плазмы (CoCD), так и в противоположном ему направлении (CounterCD). Это значит, что мы можем изменять по своему усмотрению профиль  $q(r)$  (рис. 3).

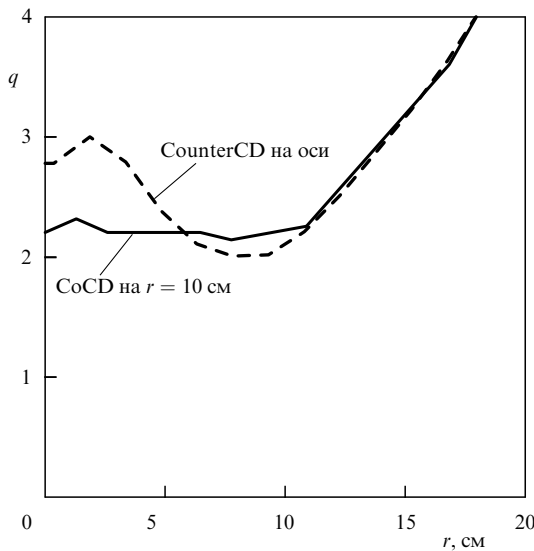


Рис. 3. Расчетные профили  $q(r)$  для измеренных профилей  $T_e(r)$  и  $n_e(r)$  при генерации CounterCD в центре плазмы и CoCD на  $1/3$  ее радиуса.

Проведенные на T-10 эксперименты [5] показали, что внутренние барьеры могут быть получены как при отрицательном шире при центральном CounterCD, так и при нецентральном CoCD, причем барьер всегда образуется в области низкого шире и значения  $q$  вблизи рационального. Так как при включении ЭЦР мощности ток генерируется не сразу, а нарастает постепенно из-за процесса скиновых перераспределений, профиль  $q(r)$  тоже изменяется плавно. Когда участок  $dq/dr = 0$  приближается к рациональному значению, уровень МГД неустойчивостей сильно уменьшается и начинает формироваться барьер. Дальнейшее увеличение  $q_0$ , соответствующего нулевой производной, его переход через рациональное значение приводит к новой вспышке МГД активности, затем ее стабилизации около следующей рациональной поверхности и формированию нового барьера (рис. 4).

Если величина  $q_0$  оказывается на грани условия формирования барьера, то улучшение удержания во внутренней зоне и соответствующее перераспределение

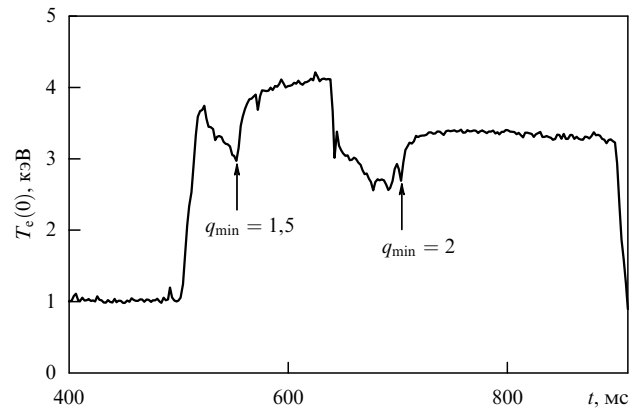


Рис. 4. Последовательное возникновение МГД неустойчивости и образование внутренних барьеров при изменении профиля  $q(r)$  в процессе разряда.

плотности тока может, в результате уменьшения  $q$  внутри барьера, вывести его из необходимого диапазона значений и барьер разрушится. В этом случае наблюдаются периодические улучшения и ухудшения удержания.

Проследим за процессом образования барьера на примере изменения интенсивности рентгеновского излучения (рис. 5). Интересно отметить, что процесс начинается не только с роста электронной температуры в кольце, где формируется барьер, но и с одновременного спада температуры в центральной части плазмы даже тогда, когда вся мощность ЭЦР вкладывается в центр

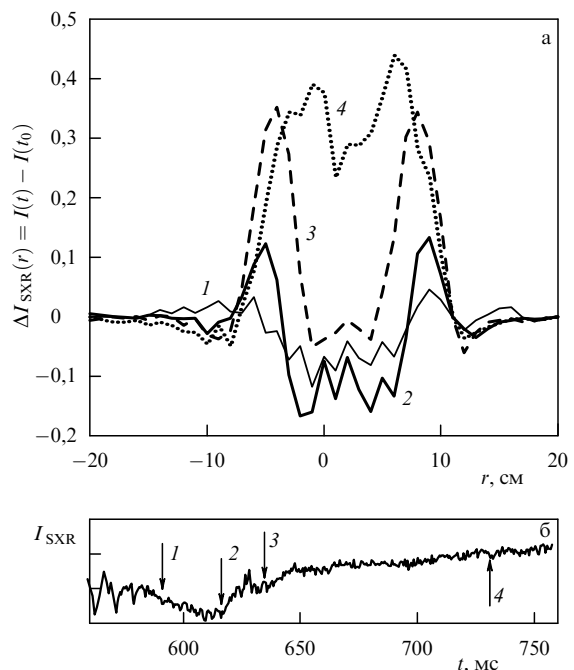


Рис. 5. (а) Распределение в пространстве прироста интенсивности мягкого рентгеновского излучения  $I_{SXR}$ , измеренного по хордам в процессе образования барьера. Из измеряемой интенсивности  $I(t)$  вычитается интенсивность  $I(t_0)$  в момент времени  $t_0 = 570$  мс до начала образования барьера. Восстановление профиля по методу Абеля существенно усиливает эффект. (б) Стрелками показаны моменты времени, для которых приведены профили.

(центральный CounterCD). Только тогда, когда барьер уже полностью сформировался, начинается заполнение теплом центральной части плазмы.

Итак, мы видим, что для образования внутреннего электронного транспортного барьера нужен определенный профиль  $q(r)$  в районе резонансной поверхности. А какую роль играет вращение? Ведь показано, что именно переменное по радиусу вращение плазмы определяет возникновение локальных градиентов концентрации частиц и ионной температуры.

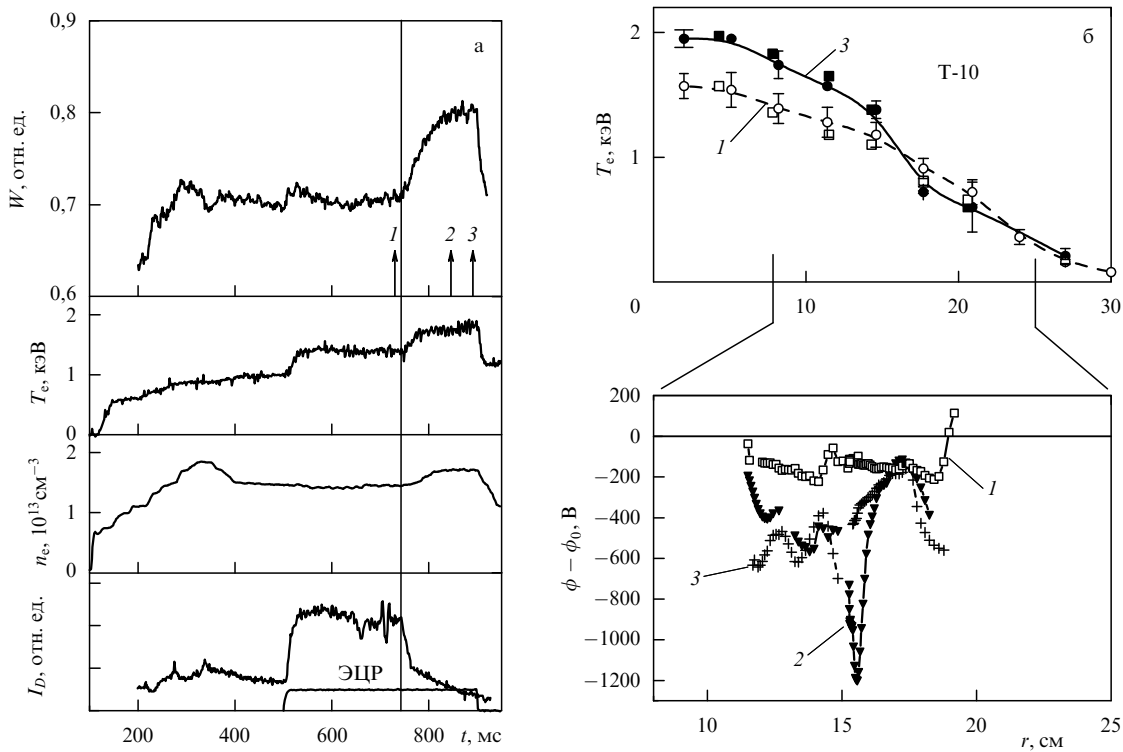
Обратимся опять к экспериментам на токамаке Т-10. Благодаря созданной здесь уникальной диагностике, позволяющей в результате зондирования плазмы пучком тяжелых ионов измерять изменения профиля потенциала в плазме, был получен важный результат [5]. При вкладе мощности ЭЦР на половине радиуса плазмы в этой области образовывался барьер на rationalной поверхности  $q = 1$ . Внутри разыгрывались МГД неустойчивости, которые, безусловно, снижали удержание энергии. Тем не менее наблюдался рост электронной температуры (рис. 6). В экспериментах была возможность измерения относительного электрического потенциала плазмы  $\phi - \phi_0$ . Эти измерения показали, что одновременно с ростом  $T_e$  происходит формирование глубокой узкой потенциальной ямы в районе барьера. Это говорит о том, что в районе барьера нарушился баланс амбиполярных потоков электронов и ионов, и кулоновские силы мгновенно обеспечили компенсацию такого разбаланса.

За счет чего нарушен баланс потоков? Увеличился поток ионов? Нет, ионное удержание, как показал эксперимент, выросло в 1,5 раза. Значит, улучшилось удержание электронов. Возникшая потенциальная яма обеспечивает сильное быстро изменяющееся по радиусу электрическое поле, следовательно, возникает широкий спектр вращения и, следовательно, происходит улучшение удержания ионной компоненты.

Итак, все начинается с профиля  $q(r)$  и возрастаия электронного времени жизни. Какая здесь связь? Теория еще не поработала тут как следует, и вопрос пока открыт. В стационарной фазе процесса яма превращается в ступенчатое снижение потенциала к внутренней стороне тора (см. рис. 6).

На токамаке Т-10 было обнаружено еще одно удивительное явление. Одновременно с внутренним барьером возникает еще и внешний барьер, отделенный от внутреннего половиной радиуса токамака!

Картина его образования очень похожа на то, что мы видели внутри: так же образуется потенциальная яма, но здесь преимущественно наблюдалось улучшение удержания частиц, растет градиент концентрации электронов. Придирчивое рассмотрение показало, что двойные и даже тройные барьеры наблюдаются во многих экспериментах на токамаках. Как связаны эти поверхности? Тороидальное зацепление мод? Действительно, в торе ни одна мода не может существовать в чистом виде — одновременно генерируются ее гармоники. В данном случае внутренний барьер формировался на



**Рис. 6.** Формирование внутреннего барьера при вложении мощности ЭЦР на половине радиуса плазмы. (а) Сверху вниз: изменение полного энергосодержания плазмы ( $W$ ), изменение  $T_e$  в зоне внутри барьера ( $r = 17$  см), ход концентрации плазмы, интенсивность свечения линии дейтерия, характеризующей приток в плазму нейтралов; внизу показан временной интервал для включения мощности ЭЦР. (б) Профили электронной температуры и изменения величины потенциала плазмы в процессе образования барьера. Моменты времени 1, 2, 3 соответствуют: 1 — до формирования внутреннего барьера; 2 — в процессе формирования внутреннего барьера; 3 — после формирования внутреннего барьера.

$q = 1$ , а внешний — на  $q = 2$ . Возможно, значительное изменение профиля магнитного острова на одной резонансной поверхности может повлечь за собой аналогичные изменения и на другой. Но тогда придется говорить о том, что Н-мода тоже начинает формироваться с участка заданной величины ширины вблизи резонансной поверхности. Однако к признанию этого ученый мир пока не готов, и вопрос остается открытым. Непреложным является то, что плазма способна звенеть, как резонатор.

Итак, внутренние барьеры разрушают связи в плазме, которые (за счет развития турбулентности) определяли самосогласованные профили, и позволяют на локальных участках устанавливать более крутые градиенты параметров. Нелинейность в развитии неустойчивостей в высокотемпературной плазме токамака приводит не к хаотизации и разрушению плазмы, а, наоборот, к построению самоорганизованных структур, способствующих хорошему удержанию частиц и энергии.

Это позволяет в земных условиях, в ограниченных объемах получать температуру плазмы ( $T \leq 4 \times 10^8$  К), в десятки раз превышающую температуру недр Солнца.

## Список литературы

1. Esipchuk Yu V, Razumova K A *Plasma Phys. Contr. Nuclear Fusion Res.* **28** 1273 (1986)
2. Кадомцев Б Б *Физика плазмы* **13** 771 (1987)
3. Wagner F et al. *Phys. Rev. Lett.* **49** 1408 (1982)
4. Sinakovski E J et al. *Phys. Plasmas* **4** 1736 (1997)
5. Razumova K A et al. *Plasma Phys. Contr. Nuclear Fusion* **205** (2000)
6. Razumova K A et al. *27th EPS Conf. on Controlled Fusion and Plasma Phys.* P2039 (2000) p. 205

PACS numbers: 83.10.Dd, 83.80.Nb, 92.10.Rw

## Модель формирования торосов в дрейфующем ледяном покрове

А.В. Марченко

### 1. Введение

Торосы являются характерной особенностью морского ледяного покрова (ЛП). Они образуются при деформациях сжатия и сдвига ЛП, вызываемых влиянием ветра и морских течений на лед. Торосы образуются в открытом океане и вблизи берега и оказывают сильное влияние на ледопроходимость судов в Арктических районах. Торосы, формирующиеся вблизи шельфовых гидротехнических сооружений, оказывают сильное влияние на распределение ледовых нагрузок на сооружения.

Торосы состоят из кусков льда, выдавленных на и под поверхность окружающего ровного ЛП. Высота надводной части торосов может достигать нескольких метров, подводная часть торосов может быть погружена в воду на несколько десятков метров. Достаточно часто торосы вытянуты в определенном горизонтальном направлении [1]. Торосы оказывают существенное влияние на реологические свойства ЛП, внося в них пространственную неоднородность и анизотропию.

Теоретические работы по моделированию процесса образования торосов (торошения) можно условно разделить на два типа. Работы первого типа (см. для примера [2]) разрабатывают методику учета процессов торошения

при крупномасштабном моделировании динамики ледяного покрова. Торошение рассматривается как основной механизм перераспределения ледяного покрова по толщине. Результатом исследований является построение функции плотности перераспределения ледяного покрова по толщине при пластических деформациях. При этом структура и процесс формирования отдельного тороса не изучаются.

Первая модель формирования одиночной гряды торосов разработана в статьях Пармертера и Куна в 1973 г. [3]. В этих работах на основе анализа данных экспериментальных наблюдений была сформулирована гипотеза о существовании предельной высоты тороса, зависящей от толщины льда, из которого образован торос. Согласно этой гипотезе торос растет в высоту и ширину, если его вертикальный размер меньше предельного, и торос растет только в ширину, если его высота достигает предельного значения. Существование предельной высоты тороса связывалось с величиной изгибных нагрузок, способных разрушить край наползающей на торос льдины и возникающих из-за отсутствия баланса силы тяжести и плавучести льда, составляющего край тороса. Используя законы сохранения массы и энергии, Пармертер и Кун оценили напряжение сжатия, необходимые для формирования тороса.

Другой подход к моделированию процесса торошения был разработан в статьях Хопкинса с соавторами [4, 5]. В этих работах торос рассматривается как куча кусков льда заданной формы, взаимодействующих друг с другом по вязкоупругому закону. Движение каждого куска описывается отдельным уравнением. Модель учитывает формирование новых кусков льда при взаимодействии края льдины с торосом. Использование современной вычислительной техники позволило произвести расчет движения большого числа обломков льда, формирующих торос, получить реалистичную картину торошения и подтвердить гипотезу о существовании предельной высоты тороса.

Получить торос в лабораторных условиях удалось только в 1998 г. [6]. Эксперимент был поставлен в ледовом бассейне Технологического университета г. Хельсинки. Толщина искусственно намораживаемого льда не превышала 10 см. Эксперимент показал, что формирование торосов сжатия сопровождается подсвами льдин так, что практически нельзя разделить эти процессы. Лабораторные исследования подтверждают натурные наблюдения в северной части Балтийского моря, согласно которым второшеннный лед в значительной степени состоит из ровных льдин, наслоненных друг на друга.

Основная цель данной работы состоит в построении модели торошения, позволяющей рассчитывать формирование торосов в ЛП, состоящем из произвольного числа льдин. Предполагается, что торосы образуются вдоль линий контакта льдин при воздействии на лед ветровых нагрузок. Рассматриваемая схема соответствует структуре морского ЛП, в котором всегда можно выделить области ровного и второшенного льда. При сжатии часть ровного ЛП разрушается и превращается в торосы, при этом участки ровного льда получают относительные смещения. Будет показано, что периодичность этих смещений объясняет существование автоколебаний при подвижках дрейфующих льдов [7].